

بررسی تاثیر غلظت گلیسروول و ضخامت بر چند ویژگی فیلم های متیل سلولزی

عماد احمدی^۱، محمد حسین عزیزی^{۱*}، سلیمان عباسی^۱ و سولماز صارمی نژاد^۱

۱- تکنولوژی و علوم مواد غذایی، دانشکده کشاورزی، دانشگاه تربیت مدرس

چکیده

در این مطالعه، تاثیر تیمار غلظت های مختلف گلیسروول (۱۵، ۳۰، ۴۵، ۶۰ و ۷۵ درصد) و ضخامت فیلم (۱۵، ۳۰ و ۶۰ میکرون) بر نفوذپذیری به بخارآب و ویژگی های مکانیکی فیلم های متیل سلولزی مورد بررسی قرار گرفت. در نهایت، فیلم های ۱۵ میکرونی محتوی ۴۵ درصد گلیسروول به عنوان فیلم های بهینه انتخاب شدند. نتایج نشان داد که غلظت های گلیسروول بر ویژگی های مکانیکی و نفوذپذیری به بخارآب فیلم ها تاثیر معنی داری را نشان داد. ضخامت، نفوذپذیری به بخارآب و مقاومت به کشش را تحت تاثیر قرار داد اما میزان کشش تغییر مهمی را در ضخامت های متفاوت نشان نداد.

کلید واژگان : فیلم خوارکی، متیل سلولز، مقاومت به کشش، میزان کشش، نفوذپذیری به بخارآب

* مسئول مکاتبات: mhazizitm@yahoo.com

(Merck 85662 Hohenbrunn, Germany
KGaA 64271 Darmstadt, Germany) استفاده شد.

۲-۲-آماده‌سازی فیلم‌های متیل‌سلولز

در مرحله اول ۳ گرم متیل‌سلولز در ۱۰۰ میلی‌لیتر مخلوط اتانول-آب (با نسبت ۱:۱) حل گشته و تحت تیمار دمایی 75°C به مدت ۱۰ دقیقه قرار گرفت. به منظور بررسی اثر گلیسروول بر ویژگی‌های مکانیکی و نفوذپذیری به بخارآب فیلم‌های متیل‌سلولز، آن در غلظت‌های ۱۵، ۴۵، ۳۰ و 75°C درصد ماده خشک فیلم به محلول افروده شد. سپس امولسیون روی یک همزن مغناطیسی 800 rpm به مدت ۱۵ دقیقه قرار گرفت. بعد از این محلول فیلم با استفاده از اسپریدر کروماتوگرافی لایه‌نمازک روی پلکسی‌گلاس پخت شد. لازم به تذکر است که ضخامت‌های مختلف با تغییر فاصله تیغه اسپریدر به دست می‌آمد. مثلاً برای بدست آوردن ضخامت ۱۵ میکرون تیغه اسپریدر روی فاصله 5 mm میلی‌متر تنظیم می‌شد. در نهایت فیلم‌ها در دمای ۲۵ درجه سانتی‌گراد و رطوبت نسبی ۵۰ درصد به مدت ۱۰ ساعت خشک شده و پس از خشک شدن از پلکسی‌گلاس کنده شده و به مدت ۴۸ ساعت تحت شرایط دمایی 25°C و رطوبت نسبی ۵۰ درصد مشروط شدند.

۳-۲-تعیین میزان نفوذپذیری به بخارآب

آزمون‌های نفوذپذیری به بخارآب فیلم‌های خوراکی طبق روش ASTM (۱۹۹۵) اصلاح شده صورت گرفت [۵]. برای انجام این آزمون از فنجان‌های شیشه‌ای با قطر داخلی ۳ سانتی‌متر و ارتفاع $3/5$ سانتی‌متر استفاده شد. فنجان‌ها محتوی ۸ میلی‌لیتر آب مقطر بودند که این می‌توانست رطوبت 100% را در فضای داخل فنجان ایجاد کند بصورتی که رطوبت داخل فنجان از رطوبت بیرون بیشتر بود. نمونه‌های فیلم بوسیله گریس روی فنجان‌ها قرار گرفته و با واشر لاستیکی و گیره محکم و آب‌بندی می‌شدند سپس فنجان‌ها درون یک دسیکاتور محتوی سیلیکاژل قرار گرفتند. فنجان‌ها هر ۱۲ ساعت یک بار توزین شده و میزان افت وزنی با استفاده از ترازوی دیجیتال با دقت 0.0001 g تعیین می‌شد. میزان نفوذپذیری به بخارآب با استفاده از فرمول زیر محاسبه شد:

$$wvp = \frac{\Delta m \times x}{A \times \Delta t \times \Delta P}$$

۱- مقدمه

فیلم و پوشش‌های خوراکی ترکیبات ارزشمندی برای ارتقا کیفیت، ماندگاری و ایمنی مواد غذایی می‌باشد. این نوع از بسته بندی می‌تواند به عنوان مواد بسته بندی مجزا، مواد پوشش دهنده و حامل‌های ترکیبات فعال به کار برد شوند. ویژگی‌های عملکردی آن‌ها به شدت به ماهیت درونی مواد تشکیل دهنده فیلم‌ها بستگی دارد [۱]. فیلم‌های خوراکی می‌توانند از موادی نظیر پلی‌ساقاریدها، پروتئین‌ها، چربی‌ها و یا مخلوطی از این ماکرومولکول‌ها تهیه شوند. پلی‌ساقاریدها دارای ساختاری پیچیده و عملکردهای متفاوتی می‌باشند [۲]. سلولز که یکی از فراوان ترین پلی‌ساقاریدها در روی زمین محسوس‌بود می‌شود پلیمری خطی از گلوكز، با ساختاری بلورین و نامحلول در آب می‌باشد [۳]. بطور معمول فیلم‌های اتر سلولزی نظیر متیل‌سلولز فیلم‌هایی با قابلیت انعطاف مناسب، شفاف، محلول در آب، بدون بو و طعم و مقاوم در برابر روغن‌ها و چربی‌ها می‌باشند (۴ و ۱) که قابلیت انعطاف آن‌ها می‌تواند با افزودن پلاستی سایزرها در فرمولاسیون افزایش یابد. پلاستی سایزرها ترکیباتی ضروری برای فیلم‌ها و پوشش‌های خوراکی پروتئینی و پلی‌ساقاریدی محسوس‌بود می‌شوند. ساختار مربوط به این فیلم‌ها اغلب سخت و شکننده است که این به دلیل برهم کش‌های قوی بین مولکول‌های پلیمر می‌باشد [۵]. پلاستی سایزرها نظیر گلیسروول ترکیباتی با وزن مولکولی کم می‌باشند که به محلول‌های تشکیل دهنده فیلم افزوده می‌شوند و دمای انتقال شیشه‌ای را کاهش می‌دهند. افزودن پلاستی سایزرها نه فقط ویژگی‌های مکانیکی بلکه مقاومت فیلم‌ها را در برابر نفوذ بخارآب نیز تحت تاثیر قرار می‌دهد [۶]. در این مطالعه، تاثیر ضخامت (سه اندازه) و غلظت‌های مختلف گلیسروول (بنج غلظت) بر ویژگی‌های مکانیکی و قابلیت نفوذ بخارآب فیلم‌های متیل‌سلولزی مورد بررسی قرار گرفته است.

۲- مواد و روش‌ها

۲-۱- مواد شیمیایی

در این پژوهش، از متیل‌سلولز Sigma, viscosity 400 (Merck Schachardt OHG, CPs, USA) گلیسروول

نفوذپذیری به بخارآب را توجیه کند. با افزایش ضخامت، میزان عبور مولکولهای بخارآب کاهش یافته که این، افزایش فشار جزئی مولکولهای بخارآب را بدنبال دارد بنابراین، افزایش فشار سبب افزایش نفوذپذیری به بخارآب می‌گردد. از جنبه دیگر، انتشار آب در پلیمرهای زیستی به میزان رطوبت بستگی دارد به صورتی که در رطوبت‌های نسبی بالا، مواد دارای محتوای رطوبت بیشتری هستند و به همین دلیل انتشار بیشتری دارند بنابراین هنگامی که ضخامت فیلم افزایش می‌یابد رطوبت نسبی تعادلی در سمت مرطوب فیلم افزایش یافته و در نتیجه نفوذپذیری به بخارآب افزایش می‌یابد [۹].

در مورد مقاومت به کشش، افزایش ضخامت سبب کاهش مقاومت به کشش شد (جدول ۱). فیلم‌های ۱۵ میکرونی در مقایسه با فیلم‌های ۳۰ و ۶۰ میکرونی مقاومت به کشش بیشتری را نشان دادند. براوین و همکاران (۲۰۰۶) نتایج مشابهی را در مورد مقاومت به کشش فیلم‌های متیل سلولز-نشاسته-روغن گزارش کردند. این پژوهش‌گران بیان کردند که کم شدن مقاومت به کشش، می‌تواند به دلیل ایجاد ساختارهای متفاوت ناشی از زمان‌های مختلف خشک کردن باشد [۱۳].

در بررسی میزان کشیدگی، هیچ اختلاف مهمی در کشیدگی فیلم‌های متیل سلولز با افزایش ضخامت مشاهده نشد (جدول ۱).

بطور مشابه، سابرال (۲۰۰۰) در بررسی اثر ضخامت، هیچ تغییر معنی‌داری را در میزان کشیدگی فیلم‌های پروتئینی میوفیبریلی مشاهده نکرد [۱۲]. در مقابل، لونگارس و همکاران (۲۰۰۴) گزارش کردند که با افزایش ضخامت، میزان کشیدگی فیلم‌های ایزوله پروتئین آب پنیر افزایش یافت [۱۱]. همچنین در فیلم‌های هیدروکسی‌پروپیل سلولز، مقاومت به کشش و میزان کشیدگی با بالا رفتن ضخامت افزایش کمی را از خود نشان دادند [۱۴]. البته ذکر این نکه ضروری است که محدوده مورد مطالعه ضخامت در کارهای تحقیقاتی مختلف گوناگون بود بنابراین نمی‌توان مقایسه صد درصد درستی را داشت. در نهایت، فیلم‌های متیل سلولز ۱۵ میکرونی به دلیل داشتن نفوذپذیری کم به بخارآب و ویژگی‌های مکانیکی مطلوب به عنوان ضخامت بهینه انتخاب شدند.

جایی که، افت وزنی مربوط به فنجان، A سطح در معرض $(7.06 \times 10^{-4} \text{ m}^2)$ ، Δt زمان (ثانیه)، X ضخامت (متر) و Δp اختلاف فشار جزئی بین درون و بیرون فنجان می‌باشد که این اختلاف فشار در رطوبت ۱۰۰ درصد ۳/۱۷۹ کیلوپاسکال (با استفاده از جدول بخار اشعاع) در نظر گرفته شد.

۴-۲- تعیین ویژگی‌های مکانیکی فیلم‌ها

آزمون‌های مکانیکی فیلم‌ها بر طبق روش (۱۹۹۶) ASTM تغییر یافته صورت گرفت [۸]. فیلم‌ها در قطعات 6×1 سانتی-متر بریده شده و تحت شرایط رطوبت نسبی 50% و دمای ۲۵ درجه سانتی‌گراد مشروط شدند. قبل از اندازه‌گیری‌ها، ضخامت نمونه‌های فیلم در ۸ نقطه اندازه‌گیری شدند. فاصله بین دو فک دستگاه آزمون عمومی فیلم (Zwick BZ2/5TH 1S, Germany) ۶۰ میلی‌متر و سرعت حرکت فک بالایی ۵۰ میلی‌متر بر دقیقه بود. مقاومت به کشش بوسیله تقسیم بیشینه نیرو بر سطح اولیه و میزان کشیدگی بوسیله تقسیم میزان کشش در لحظه پاره شدن نمونه فیلم بر طول اولیه فیلم بدست آمدند.

۵- آزمون‌های آماری

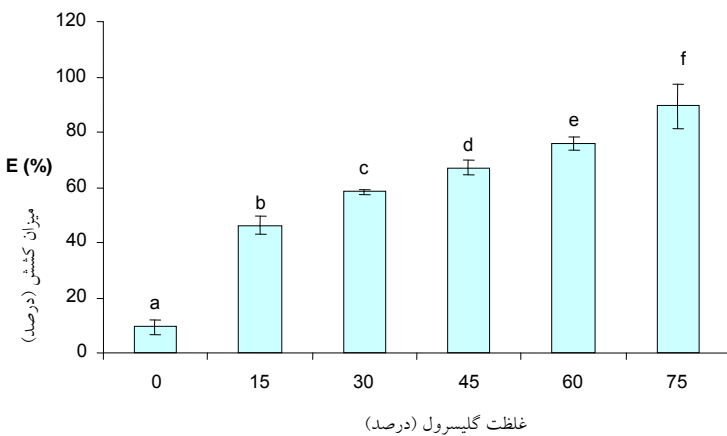
در مورد ویژگی‌های کمی از آزمون تجزیه واریانس (ANOVA) در سطح $a=0.05$ استفاده گردید و در صورت معنی‌دار بودن، از آزمون مقایسه چندگانه Duncan استفاده شد. برای آنالیز داده‌ها از نرم‌افزار SPSS 13 استفاده شد.

۳- نتایج و بحث

۳-۱- بررسی اثر ضخامت‌های مختلف فیلم‌های متیل سلولز

در مقایسه با فیلم‌های سنتزی، نفوذپذیری به بخارآب فیلم‌های تهیه شده از پلیمرهای زیستی به ضخامت فیلم بستگی دارد [۹]. در این مطالعه با افزایش ضخامت، نفوذپذیری به بخارآب فیلم‌های مورد مطالعه افزایش یافت. برتوزی و همکاران در مورد فیلم‌های نشاسته، لونگارس و همکاران در مورد فیلم‌های ایزوله پروتئین آب پنیر و سابرال در مورد فیلم‌های میوفیبریلی نتایج مشابهی را گزارش کردند [۱۲-۱۰]. ماهیت آب‌دوسیت بیشتر پلیمرهای زیستی می‌تواند تاثیر ضخامت بر قابلیت

شکل ۲ تغییرات کشیدگی مربوط به فیلم‌های متیل‌سلولز محتوی غلظت‌های مختلف پلاستی‌سایزر را نشان می‌دهد. با افزایش غلظت پلاستی‌سایزر، درصد کشیدگی فیلم افزایش یافت. میزان کشیدگی فیلم بدون گلیسرول و فیلم با بالاترین غلظت گلیسرول به ترتیب $9/14\%$ و $80/04\%$ درصد بdst آمد. نتایج مشابه توسط ارونیتویانیس و همکاران (۱۹۹۸)؛ رو دریگوئز و همکاران (۲۰۰۶) گزارش شد [۱۵ و ۱۶]. کاهش جذب بین مولکولی که در اثر تشکیل پیوندهای هیدروژنی بین زنجیرهای متیل‌سلولز ایجاد می‌شود می‌تواند افزایش کشیدگی و کاهش مقاومت به کشش فیلم‌های متیل‌سلولزی را توجیه کند.



شکل ۲ نمایش تاثیر غلظت گلیسرول بر قابلیت کشش فیلم‌های متیل سلوولزی

حروف غیر یکسان در هر ستون نشان دهنده اختلاف آماری معنی دار در سطح $p<0.05$ می‌باشد.

شکل ۳ رابطه بین نفوذپذیری به بخارآب و غلظت‌های مختلف گلیسرول را نشان می‌دهد. میزان نفوذپذیری به بخارآب فیلم‌های بدون پلاستی‌سایزر $35/0 \times 10^{-11}$ g/m.s.Pa و میزان نفوذپذیری به بخارآب فیلم‌های محتوی بالاترین غلظت گلیسرول $12/2 \times 10^{-11}$ g/m.s.Pa بدست آمد. با افزایش غلظت پلاستی‌سایزر میزان انتقال بخارآب از فیلم افزایش یافت در نتیجه اعداد نفوذپذیری به بخارآب برای فیلم‌های حاوی پلاستی‌سایزر بیشتر بود. گونتارد و همکاران در مورد فیلم‌های گلوتنی، ارونیتویانیس و بیلیادریس در مورد فیلم‌های کازینات سدیم و ناشاسته محلول و ساترنونیت و کروشتا در مورد فیلم‌های پروتئینی آب پنیری نتایج مشابهی را گزارش کردند [۱۵ و ۱۶].

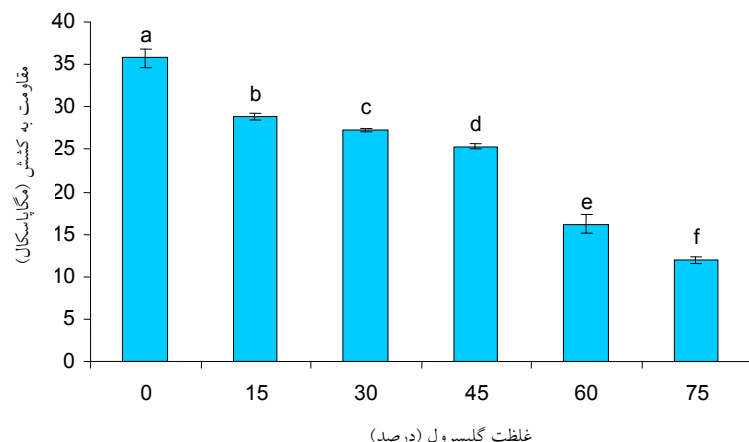
جدول ۱ نمایش تاثیر ضخامت بر ویژگی‌های فیلم‌های متیل سلوولزی

ضخامت (μm)	نفوذپذیری به بخارآب (g/m.s.Pa) $\times 10$	مقاومت به کشش (مگا پاسکال)	میزان کشش (%)
۱۵	۶۳۷ \pm ۱۰ ^a	۳۰/۸۳ \pm ۱۸ ^d	۶۵/۶۶ \pm ۱۰ ^g
۳۰	۹۶۳ \pm ۱۶ ^b	۲۲/۹۹ \pm ۲۳ ^c	۷۱/۵۷ \pm ۱۰ ^g
۶۰	۱۴۴ \pm ۲۶ ^c	۱۷/۹۷ \pm ۲۶ ^f	۷۶/۴۹ \pm ۱۲ ^g

*حروف غیر یکسان در هر ستون نشان دهنده اختلاف آماری معنی دار در سطح $p<0.05$ می‌باشد.

۲-۳-بررسی اثر گلیسرول

تغییرات در مقاومت به کشش مربوط به فیلم‌های متیل‌سلولز در ارتباط با غلظت‌های مختلف پلاستی‌سایزر در شکل ۱ نشان داده شده است. مقاومت به کشش فیلم متیل‌سلولز بدون پلاستی‌سایزر $35/77$ مگاپاسکال بدست آمده بود و با افزایش غلظت پلاستی‌سایزر میزان مقاومت به کشش کاهش یافت.



شکل ۱ نمایش تاثیر غلظت گلیسرول بر مقاومت به کشش فیلم‌های متیل سلوولزی

حروف غیر یکسان در هر ستون نشان دهنده اختلاف آماری معنی دار در سطح $p<0.05$ می‌باشد.

β -lactoglobulin films. *Journal of Food Engineering*, 50, 149–155.

[7] ASTM, (1995). Standard test methods for water vapor transmission of material, E96–95. Annual book of ASTM, Philadelphia, PA: American Society for Testing and Materials.

[8] ASTM, (1996). Standard test methods for tensile properties of thin plastic sheeting, D882–91. Annual book of ASTM, Philadelphia, PA: American Society for Testing and Materials.

[9] McHugh, T. H., Avena-Bustillos, R., & Krochta, J. M. (1993). Hydrophilic edible films: modified procedure for water vapor permeability and explanation of thickness effects. *Journal of Food Science*, 58, 899–903.

[10] Bertuzzi, M. A., Castro Vidaurre, E. F., Armada, M., & Gottifredi, J.C. (2007). Water vapor permeability of edible starch based films. *Journal of Food Engineering*, 80, 972–978.

[11] Longares, A., Monahan F. J., O'Riordan E. D., & O'Sullivan M. (2004). Physical properties and sensory evaluation of WPI films of varying thickness. *Lebensmittel Wissenschaft und-Technologie*, 37, 545–550.

[12] Sobral, P. J. D. (2000). Thickness effects of myofibrillar protein based edible films on their functional properties. *Pesquisa Agropecuaria Brasileira*, 35, 1251–1259.

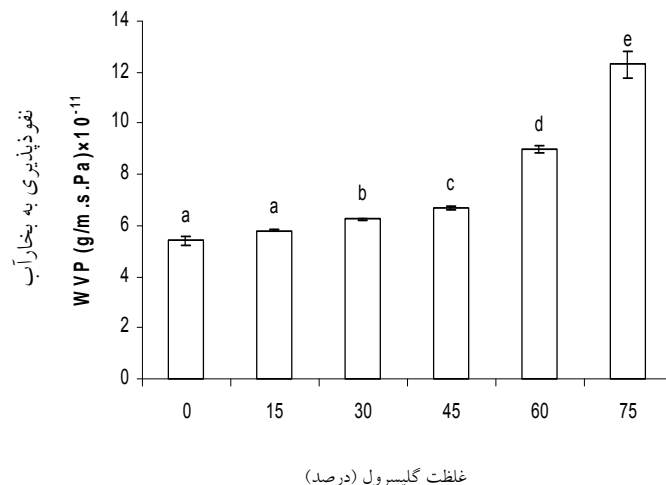
[13] Bravin, B., Peressini, D., & Sensidoni, A. (2006). Development and application of polysaccharide–lipid edible coating to extend shelf-life of dry bakery products. *Journal of Food Engineering*, 76, 280–290.

[14] Park, H. J., Weller, C. L., Vergano, P. J., & Testin, R. F. (1993). Permeability and mechanical properties of cellulose-based edible films. *Journal of Food Science*, 58, (6): 1361-1364.

[15] Arvanitoyannis, I., & Biliaderis, C. G. (1998). Physical properties of polyol plasticized edible films made from sodium caseinate and soluble starch blends. *Food Chemistry*, 62(3), 333–342.

[16] Rodriguez, M., Oses, J., Ziani, K., & Mate, J. (2006). Combined effect of plasticizers and surfactants on the physical properties of starch based edible films. *Food Research International*, 39, 840–846.

[17] Gontard, N. Christophe, C. & Cuq, J.(1993). Edible composite films of wheat gluten and lipids:water vapour permeability and other physical properties. *International Journal of Food Science and Technology*, 32, 39-50.



غلاطت گلیسرول (درصد)

شکل ۳ نمایش تاثیر غلاطت گلیسرول بر نفوذپذیری به بخارآب فیلم های متیل سلولزی

حروف غیر یکسان در هر ستون نشان دهنده اختلاف آماری معنی دار در سطح $p \leq 0.05$ می باشد.

۴- نتیجه گیری

با توجه به قابلیت نفوذپذیری به بخارآب و ویژگی های مکانیکی فیلم های متیل سلولزی، گلیسرول در غلاطت ۴۵ درصد و ضخامت به میزان ۱۵ میکرون بهینه شدند.

۵- منابع

- [1] Kester, J. J., & Fennema, O. (1986). Edible films and coatings: a review. *Food Technology*, 47–59.
- [2] Tharanathan, R. N. & Kittur, F. S. (2003). Chitin - the undisputed biomolecule of great potential. *Crit. Rev. Food Science and Nutrition*, 43(1), 61-87.
- [3] Donhowe, I. G., & Fennema, O. (1993). The effects of plasticizers on crystallinity, permeability and mechanical properties of methylcellulose films. *Journal of Food Processing and Preservation*, 17, 247–257.
- [4] Hagenmaier, R. D., & Shaw, P. E. (1990). Moisture permeability of edible films made with fatty acid and hydroxypropyl methylcellulose. *Journal of Agriculture and Food Chemistry*, 38, 1799–1803.
- [5] Krochta, J. M. (2002). Proteins as raw materials for films and coatings: definitions, current status, and opportunities. In: Protein-based Films and Coatings (A. Gennadios, ed.), CRC Press, Boca Raton, FL. pp. 1–41.
- [6] Sothornvit, R. & Krochta, J. M. (2001). Plasticizer effect on mechanical properties of

Effect of glycerol content and thickness on certain characteristics of methylcellulose films

Ahmadi, E.¹, Azizi, M. H.^{2 *}, Abbasi^a, S.², Sareminezhad, S.³

^aDepartment of Food Science and Technology, Faculty of Agriculture, Tarbiat Modares University

The objective of this study was to investigate the effect of different glycerol concentrations (15, 30, 45, 60 & 75% w/w of methylcellulose) and film thickness (15, 30 & 60 μ m) on methylcellulose (MC) films water vapor permeability and mechanical properties. Finally, 15 μ m films containing 45% glycerol (the best conditions) were selected. Results showed the significant effect of glycerol concentration on films water vapor barrier and mechanical properties. Film thickness affected WVP and tensile strength but not elongation at break.

Keywords: Edible film; Methylcellulose; Elongation; Tensile strength; water vapor permeability

* Corresponding Author E-Mail address: mhazizitm@yahoo.com